

СПЕКТР ЭПР И ЭЛЕКТРОН-ФОНОННОЕ ВЗАИМОДЕЙСТВИЕ Fe^{2+} В КОРУНДЕ

O. V. Адаменко, Е. М. Ганапольский

Интерес к иону Fe^{2+} в корунде проявляется давно [1, 2] и обусловлен он несколькими причинами. Как было установлено ранее [3, 4] методом акустического парамагнитного резонанса (АПР), этот ион обладает сильным электрон-фононным (ЭФ) взаимодействием, с которым связана большая скорость спин-решеточной релаксации при низких температурах. Поэтому присутствие его в рубине даже в весьма малой концентрации, в качестве примеси, обычно сопутствующей активным мазерным ионам Cr^{3+} , может повлиять за счет кросс-процесса на скорость спин-решеточной релаксации Cr^{3+} [2] и существенно ухудшить характеристики мазерного кристалла. Для того чтобы определить области спектров, где могут реализоваться подобные кросс-процессы, необходимы надежные и точные сведения о структуре спектра основного мультиплета Fe^{2+} , выяснить которые с помощью стандартного метода ЭПР сантиметрового диапазона оказалось невозможным из-за запрета магнитодипольного перехода между уровнями возбужденного дублета $M_s = \pm 1$. С помощью АПР, в котором этот запрет снимается, из анализа температурной зависимости интенсивности резонансной линии была приблизительно определена величина начального расщепления D уровней мультиплета. В то же время этим методом было установлено, что система трех уровней основного мультиплета с эффективным спином $S=1$, обладающая сильной ЭФ связью, подходит для реализации фазерных эффектов усиления и генерации гиперзвука, обусловленных фононными переходами между уровнями возбужденного дублета $M_s = \pm 1$ при накачке (электромагнитной или гиперзвуковой) между основным и возбужденным уровнем. Однако для точного определения начального расщепления, величины ЭФ взаимодействия и соответственно скорости релаксации, необходимых для реализации фазерного эффекта, измерений АПР оказалось недостаточно.

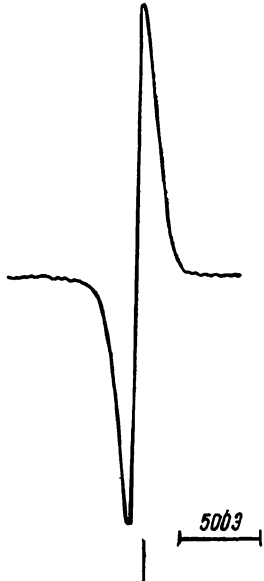
В связи с этим для исследования структуры спектра и ЭФ взаимодействия Fe^{2+} был применен комплексный метод, включающий измерения АПР на частоте перехода между уровнями возбужденного дублета $M_s = \pm 1$ на частоте 9.4 ГГц и ЭПР между основным и возбужденным уровнем на частоте 137.5 ГГц. С помощью этого метода при температуре 4.2 К был впервые обнаружен спектр Fe^{2+} в корунде, измерено начальное расщепление основного мультиплета и определены компоненты тензора ЭФ взаимодействия, а также характерное время релаксации T_1 при гелиевых температурах.

Остановимся кратко на особенностях эксперимента, связанных с применением комплексного метода. Образец кристалла корунда с Fe^{2+} должен удовлетворять требованиям, связанным с возбуждением в нем продольной гиперзвуковой волны и измерением ее резонансного поглощения (АПР), с одной стороны, и измерением резонансного поглощения электромагнитного поля в двухмиллиметровом радиодиапазоне, с другой. В связи с этим образец был выполнен в виде стержня круглого сечения диаметром 2.6 мм и длиной 15 мм. Геометрическая ось стержня совпадала с его кристаллографической осью симметрии второго порядка. При исследованиях АПР использовалась эхо-импульсная методика, описанная ранее [5], а для измерений ЭПР был создан спектрометр двухмиллиметрового радиодиапазона с однородным магнитным полем до 30 кЭ. Особенность его заключалась в том, что образец, в котором было измерено резонансное поглощение гиперзвука, помещался в круглый волновод и полностью заполнял

поперечное сечение. Так как корунд обладает значительной диэлектрической проницаемостью ($\epsilon=10$), то кристаллический корундовый стержень, имеющий плоскопараллельные торцы, необходимые для возбуждения гиперзвука, выполнял в волноводе роль электромагнитного резонатора спектрометра ЭПР. Для последнего была выбрана схема прямого усиления с синхронным детектированием на частоте модуляции магнитного поля (1 кГц). В качестве источника СВЧ был применен генератор дифракционного излучения [6], обладающий высокой стабильностью по частоте и амплитуде колебаний, чем в значительной мере обеспечивалась достаточно высокая чувствительность ЭПР спектрометра: 10^{13} спин.Э $^{-1}$. В качестве

приемника электромагнитного излучения служил детектор на основе компенсированного InSb, расположавшийся в гелиевом криостате на конце волновода. При определении концентрации Fe^{2+} , необходимой для измерения компонент тензора ЭФ взаимодействия, использовался кристалл андалузита с Fe^{3+} , который находился в волноводе рядом с корундом, содержащим Fe^{2+} . Поскольку ширина линии ЭПР Fe^{3+} в андалузите приблизительно такая же, как и Fe^{2+} в корунде, а расположения их в магнитном поле при подходящей ориентации андалузита близки между собой, то по известной концентрации Fe^{3+} в андалузите, определенной стандартным методом ЭПР в сантиметровом радиодиапазоне, можно было достаточно точно определить концентрацию Fe^{2+} в корунде.

Обнаруженный спектр ЭПР Fe^{2+} в корунде показан на рисунке. Он соответствует параллельной ориентации магнитного поля и оси симметрии



4870 Г

Линия ЭПР Fe^{2+} в корунде; $f=137.5$ ГГц.

третьего порядка. Из данных ЭПР было непосредственно определено начальное расщепление основного мультиплета: $D=(3.77 \pm 0.01)$ см $^{-1}$. Оказалось, что ширина линии для перехода $|0\rangle \leftrightarrow |+1\rangle$ составляет 250 Э, что на порядок больше, чем для линии АПР на переходе между возбужденными уровнями. Это связано, по-видимому, с влиянием остаточных деформаций кристалла на структуру спектра в условиях сильного ЭФ взаимодействия. Резонансное поглощение гиперзвука при 4.2 К составляло 1.1 дБ/см при концентрации Fe^{2+} , равной $(1.3 \pm 0.1) \cdot 10^{17}$ см $^{-3}$. Комбинация компонент ЭФ взаимодействия для связи с продольными упругими колебаниями [7], определенная на основе этих данных, составляет $1.2 \cdot 10^3$ см $^{-1}$, с поперечными — $8.6 \cdot 10^2$ см $^{-1}$. Отсюда для времени релаксации T_1 (4.2 К) было получено 10^{-6} с. Эти результаты и основанные на них расчеты температурной зависимости $T_1(T)$ непосредственно подтверждают полученные ранее данные о характере релаксационных процессов Fe^{2+} при низких температурах [4].

Л и т е р а т у р а

- [1] Stewens K. W. H., Walch D. J. Phys. C.: Sol. St. Phys., 1968, vol. 1, N 6, p. 1554—1562.
- [2] Raoult G., Gavaix A., Vasson A., Vasson A. M. Phys. Rev. B: Sol. St., 1971, vol. 4, N 11, p. 3849—3853.
- [3] Ганапольский Е. М. Изв. АН СССР, 1971, т. 35, № 5, с. 955—960.
- [4] Ганапольский Е. М. ФТТ, 1975, т. 17, № 1, с. 67—75.
- [5] Ганапольский Е. М. ПТЭ, 1969, № 6, с. 214—215.
- [6] Шестопалов В. П. Физические основы миллиметровой и субмиллиметровой техники. т. 2. Источники. Элементная база. Радиосистемы. Киев: Наукова Думка, 1985, 256 с.
- [7] Ганапольский Е. М., Маковецкий Д. Н. ФТТ, 1973, т. 15, № 8, с. 2447—2453.